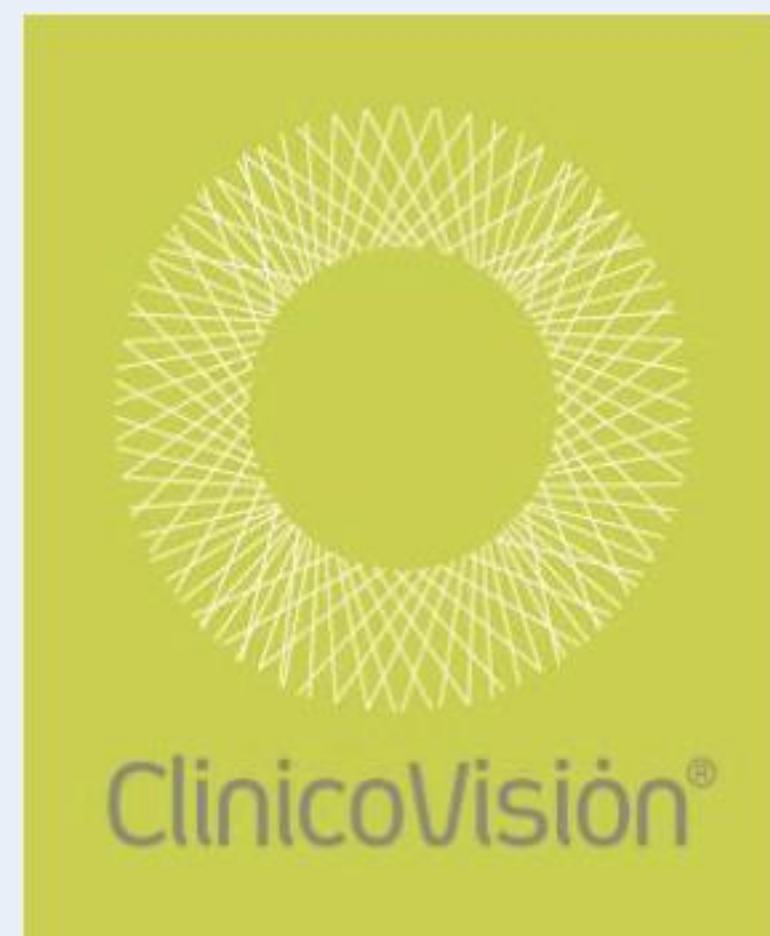


# DIAGNÓSTICO DE PATOLOGÍA OCULAR CON EL NUEVO TOMÓGRAFO CIRRUS 500

BLANCA BENITO PASCUAL, BÁRBARA BURGOS BLASCO, JOSÉ MANUEL BENÍTEZ DEL CASTILLO SÁNCHEZ, ENRIQUE SANTOS BUESO



## PROPÓSITO

Evaluar la utilidad del nuevo tomógrafo Cirrus 500 para el diagnóstico de patología ocular.

## MATERIAL Y MÉTODOS

- Estudio prospectivo de reclutamiento consecutivo
- 50 pacientes de consulta de oftalmología general
- Estudio con lámpara de hendidura, presión intraocular con tonómetro de aplanación (Perkins) y estudio de fondo de ojo.
- Tomografía con el aparato Cirrus 500 a todos los pacientes.

## RESULTADOS

	Modelo 500
<b>OCT RETINA</b>	
Análisis de cambio y espesor macular	•
Datos normativos de espesor macular	•
<b>GLAUCOMA</b>	
Análisis de células ganglionales	•
Análisis de progresión guiado (GPA™)	•
ONH & RNFL OU Análisis con datos normativos	•
<b>IMÁGENES DE LA CÓRNEA/ÁNGULOS</b>	
Visualización del ángulo de la córnea	•
Espesor corneal central	•
Imágenes de fondo de ojo	
Tecnología	Live OCT Fundus™
Especificaciones técnicas	
Velocidad de escaneado OCT (a-scan/seg)	27.000-68.000*
OCT Resolución axial (en tejido)	5 µm
Diámetro mínimo de pupila	2 mm
Campo de visión de imagen de fondo de ojo	36 x 22 grados



Figura 1: Cirrus 500

\* Todos los patrones de escaneado existentes en la versión de software 6.5 realizan 27 000 A-scans por segundo. La imagen del fondo del ojo de la OCT adquirida con el modelo 500 se capturará a 68 000 A-scans por segundo.

# RESULTADOS

Presentamos imágenes de polo anterior (precipitados retorqueraticvos en uveítis anterior aguda, catarata traumática, catarata polar posterior, lentes ICL, lentes intraoculares, etc) e imágenes de polo posterior (desprendimiento de vítreo posterior, hialoides, espacio de Erggelet, etc.)

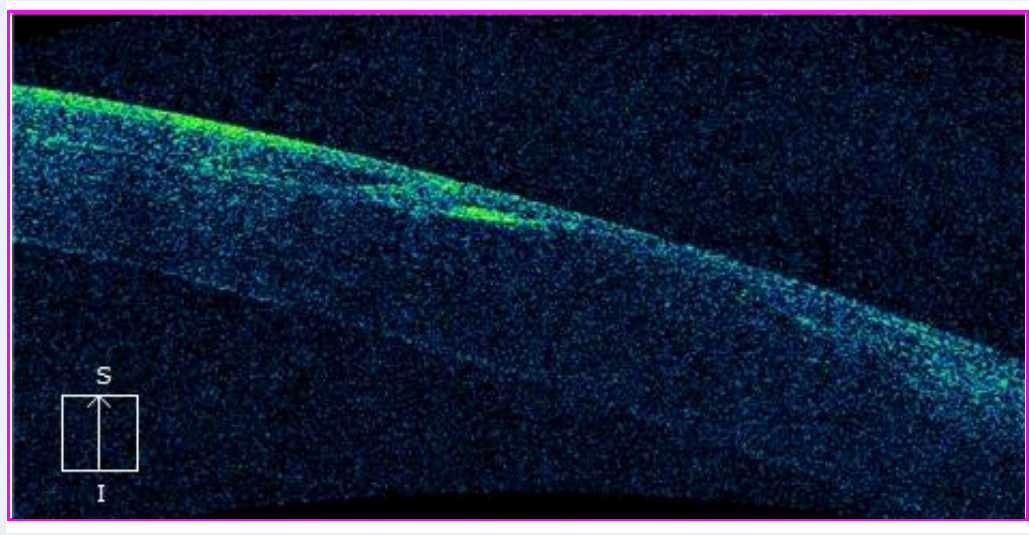


Figura 2: FLAP de LASIK.

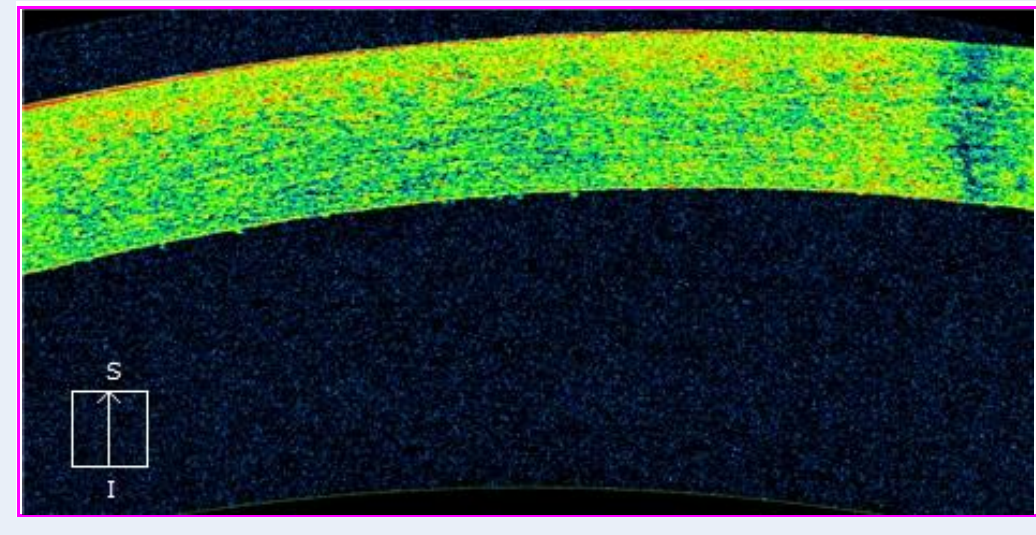


Figura 3: PRKs en uveítis anterior.

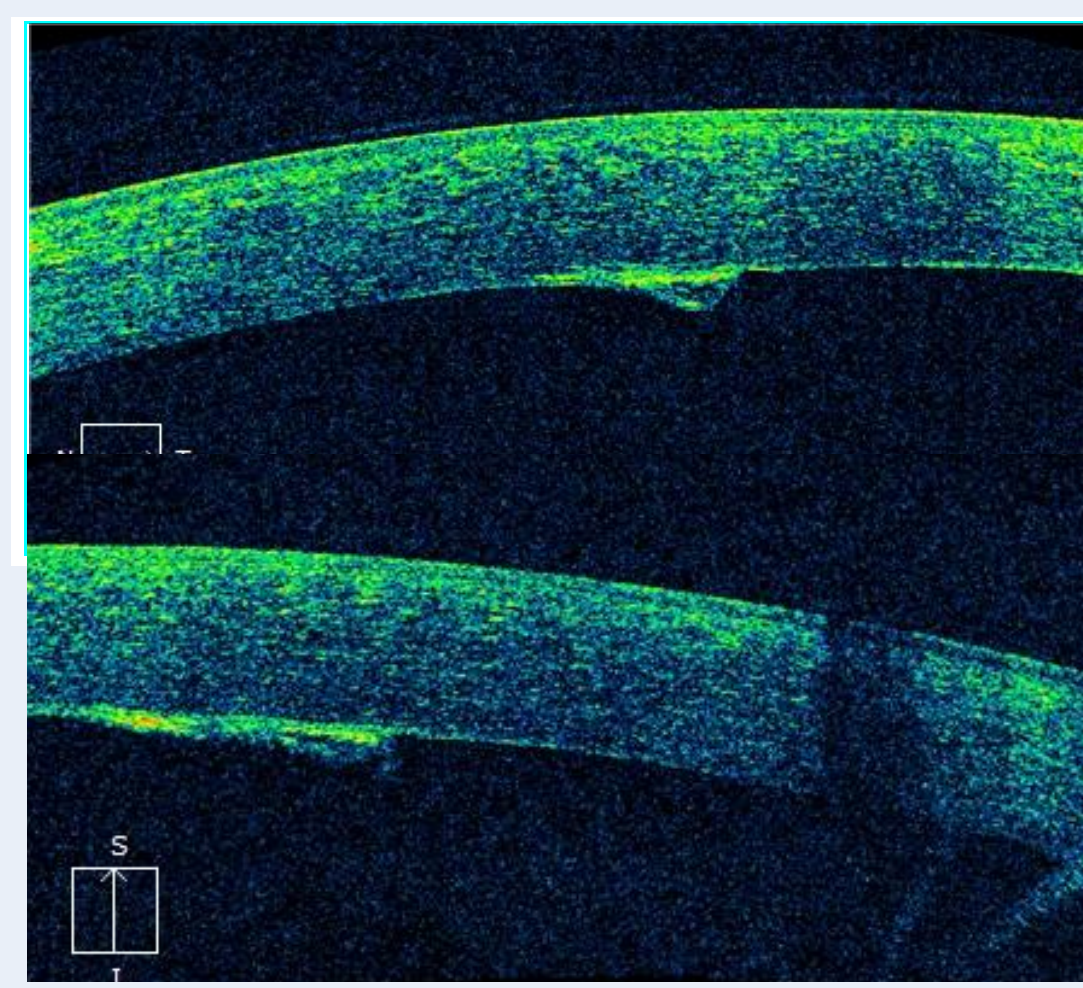


Figura 4: desprendimiento de membrana de Descemet.

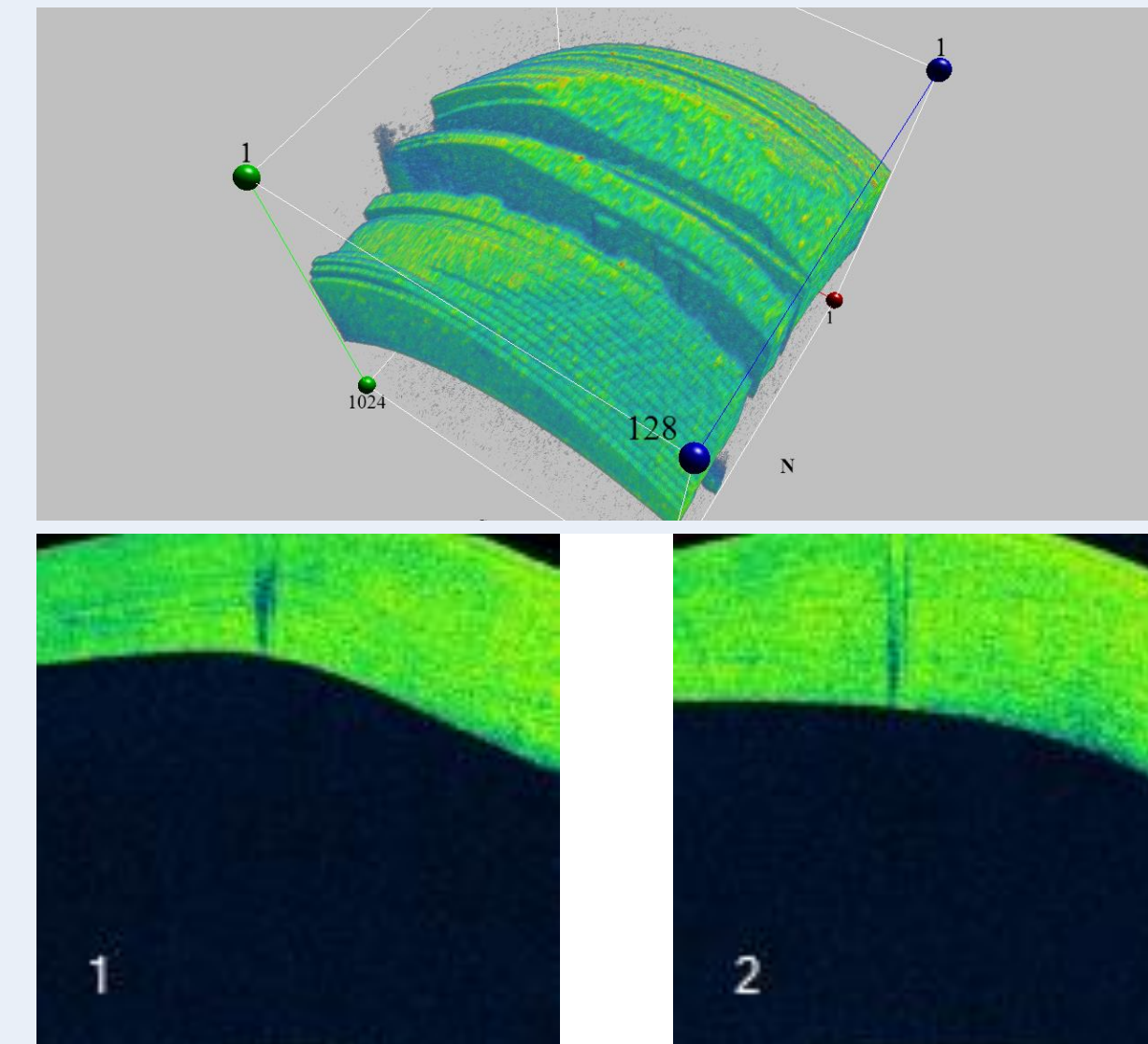


Figura 5: valoración profundidad queratotomía radial previo a la cirugía de catarata.

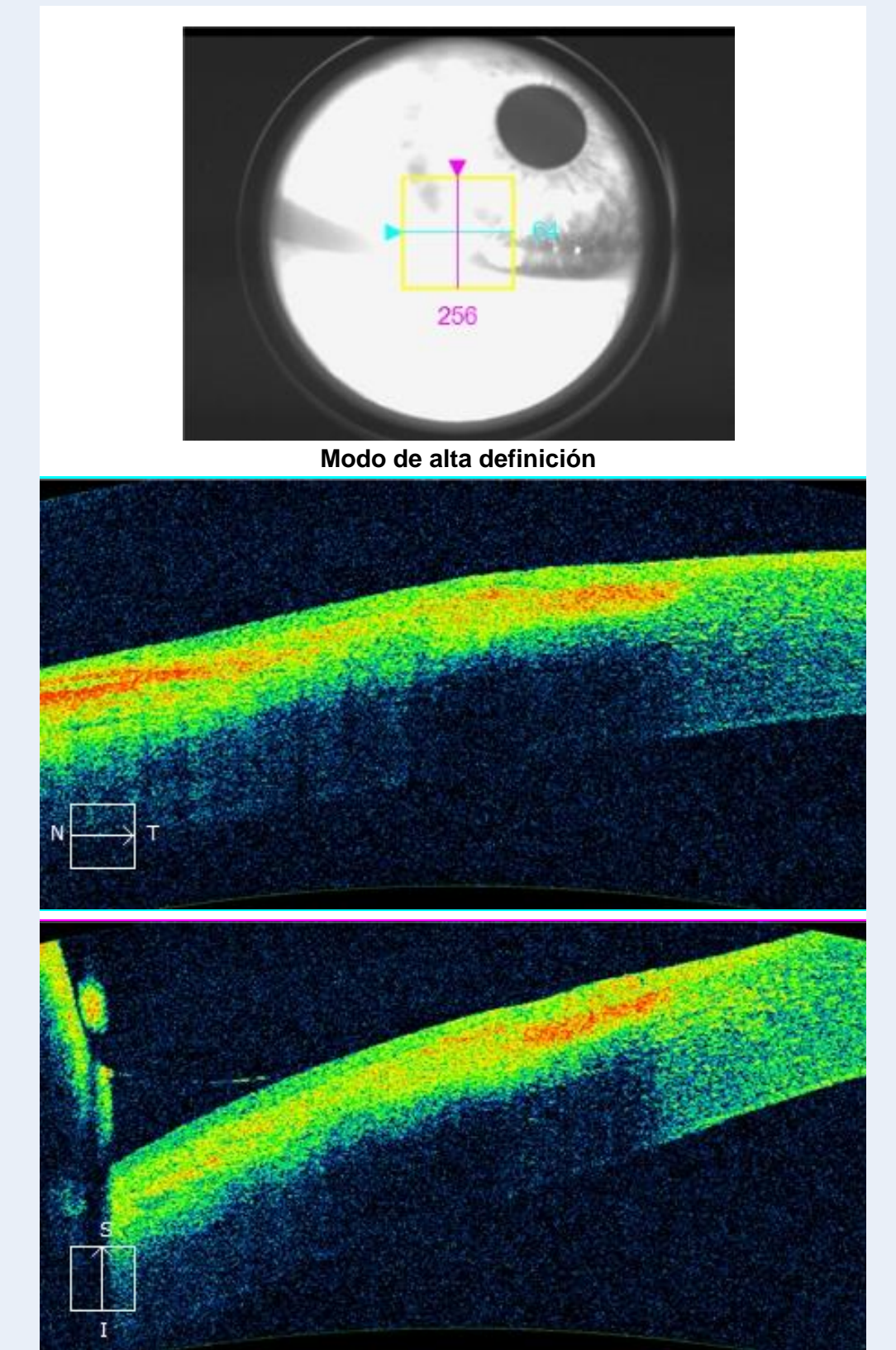


Figura 6: cicatriz corneal.

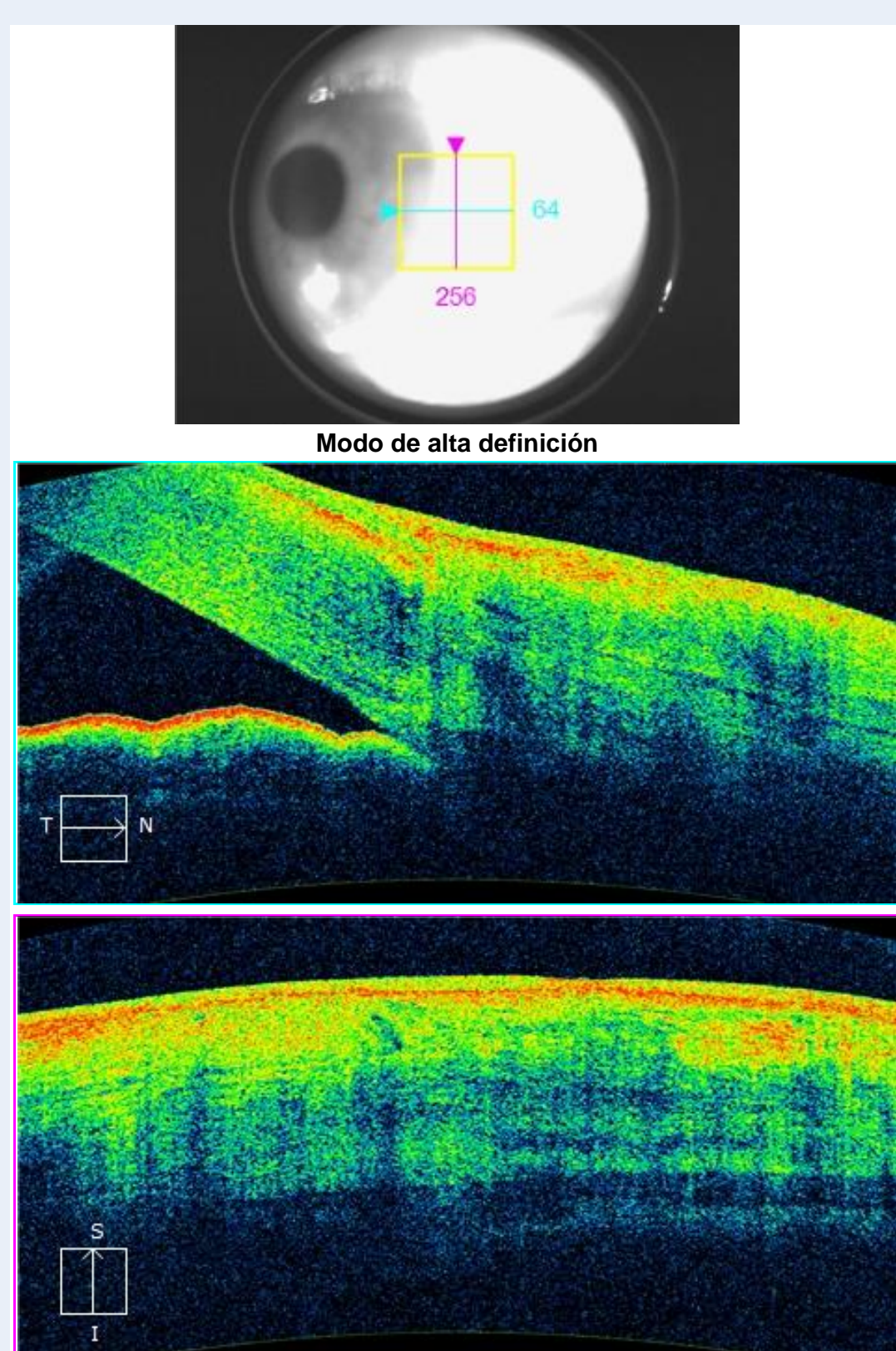


Figura 7: extensión pterigión.

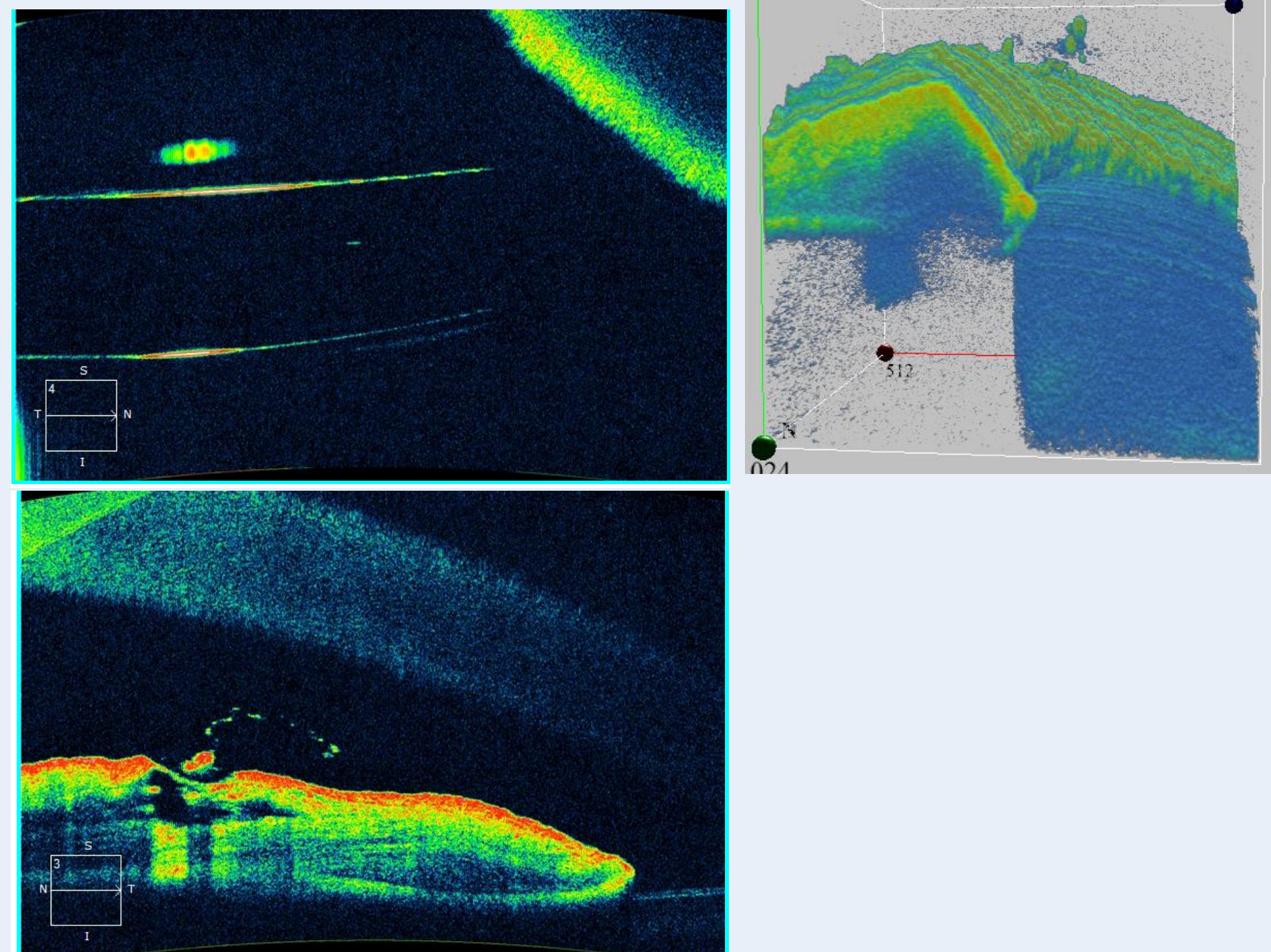


Figura 8: membrana pupilar persistente.

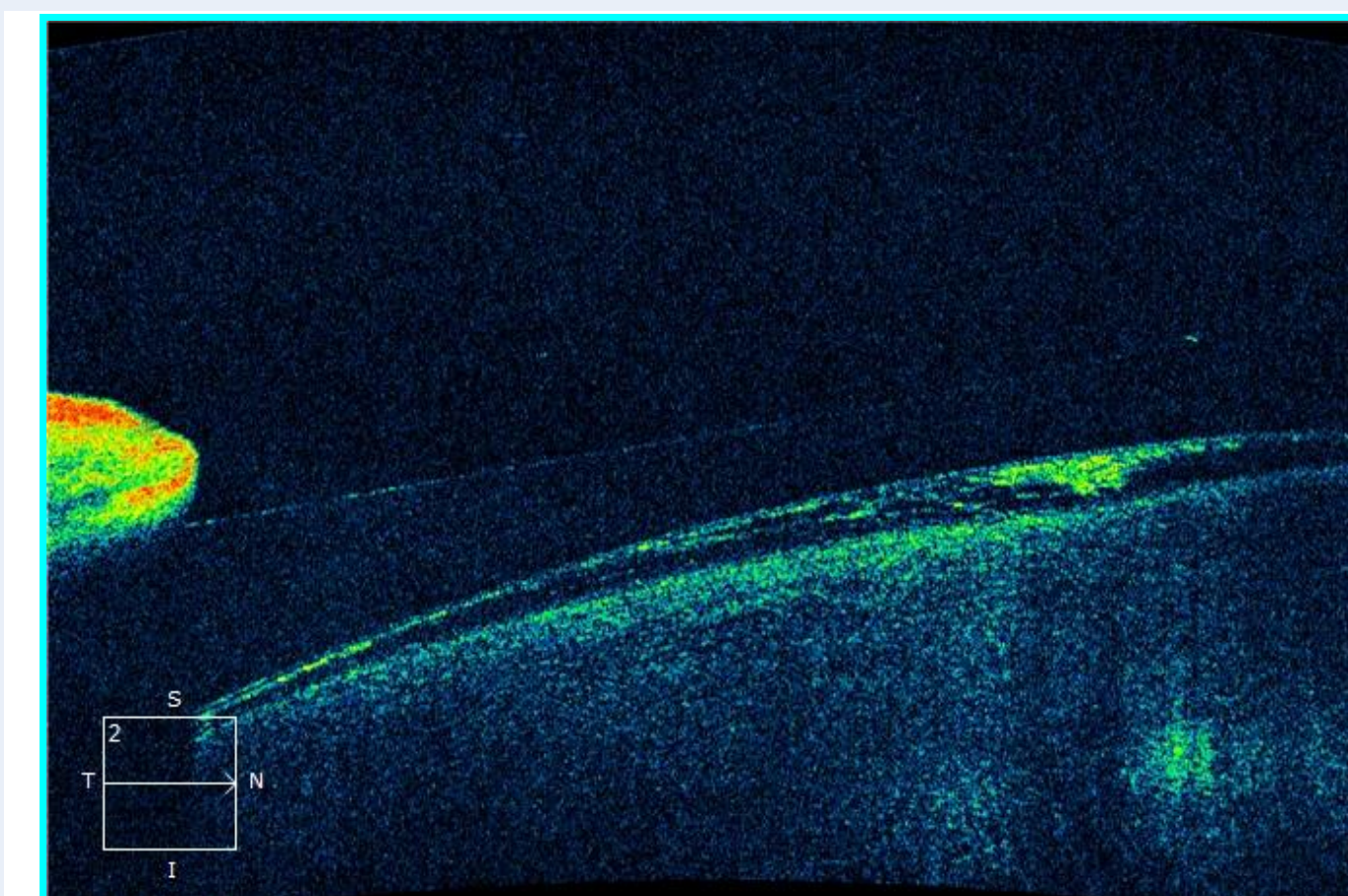


Figura 9: lente ICL y catarata.

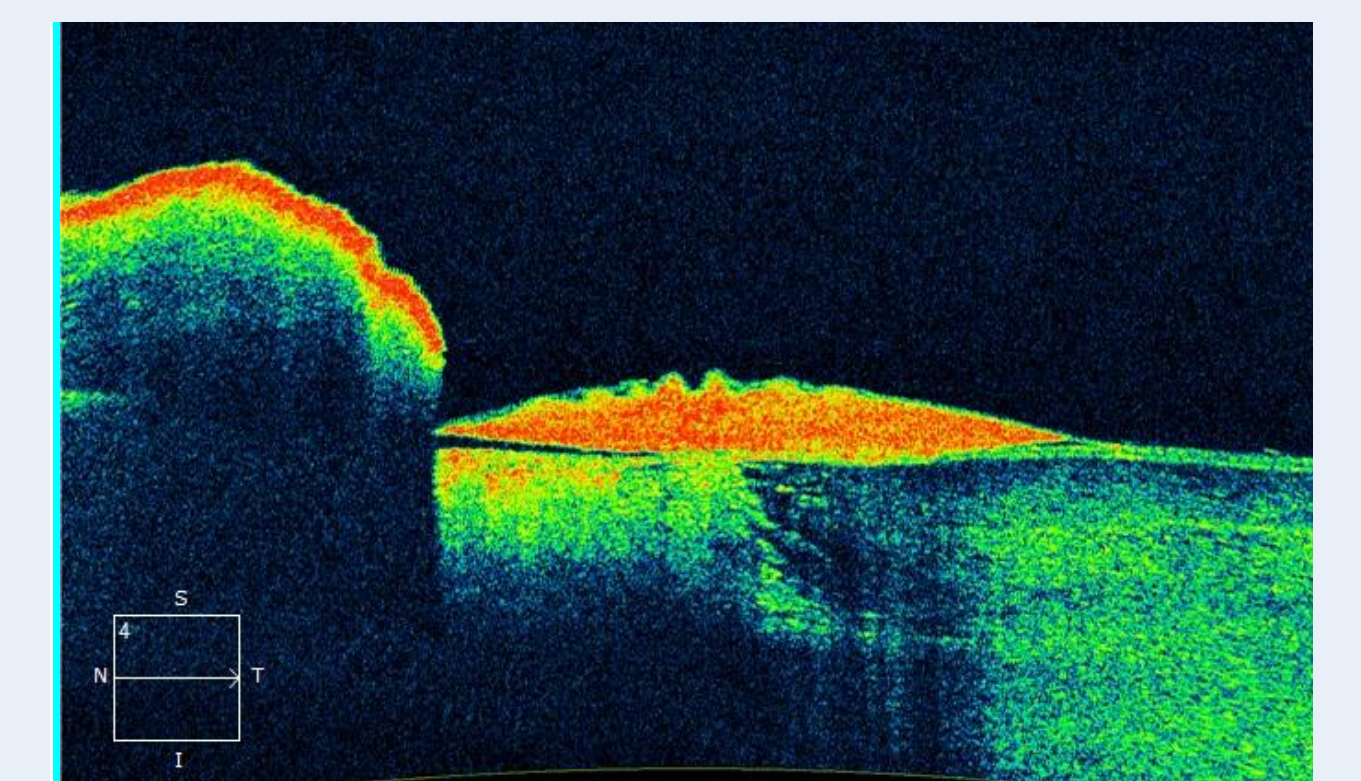


Figura 10: catarata traumática.

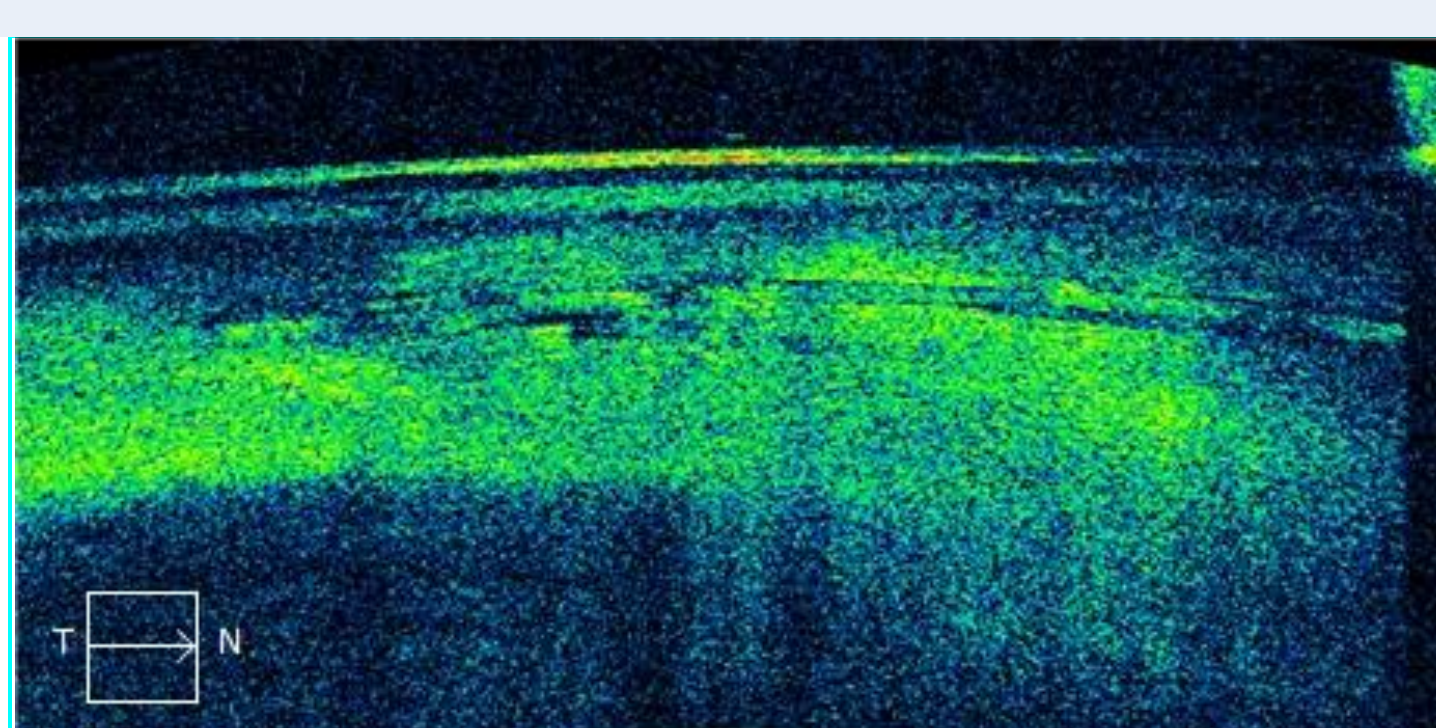


Figura 11: catarata cortical anterior y nuclear.

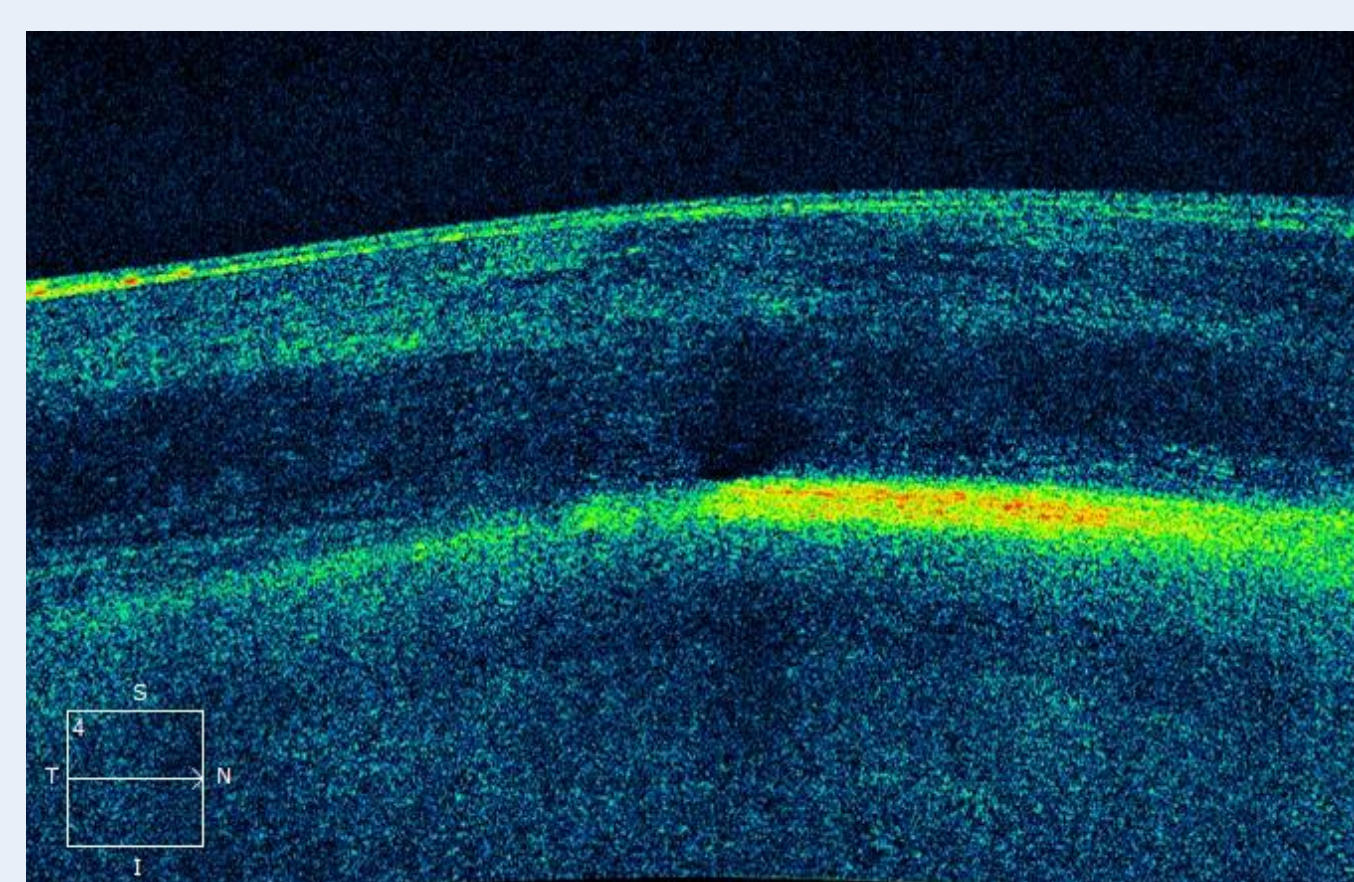


Figura 12: catarata nuclear.

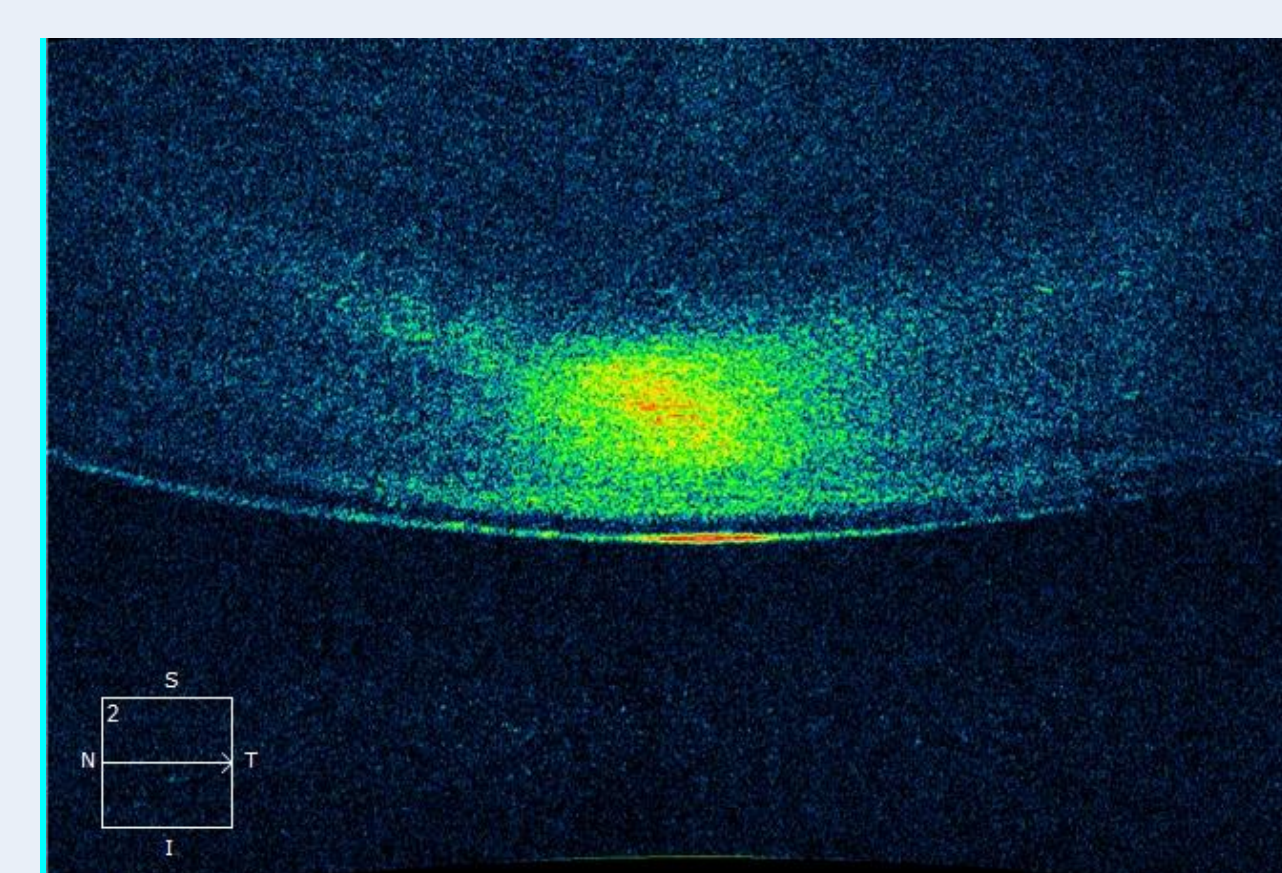


Figura 14: evaluación pre quirúrgica de cataratas polares posteriores.

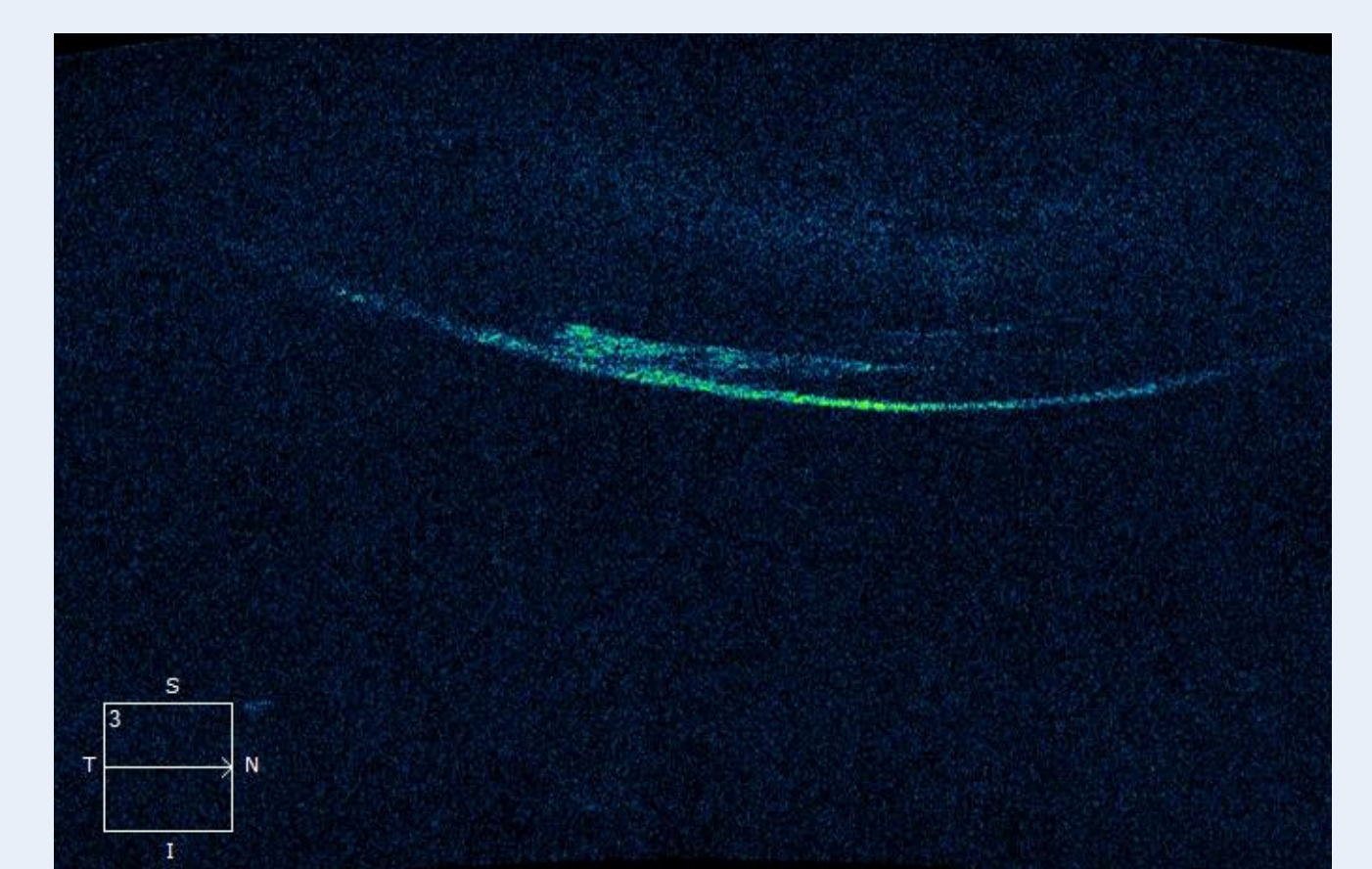


Figura 13: catarata subcapsular posterior.

# RESULTADOS

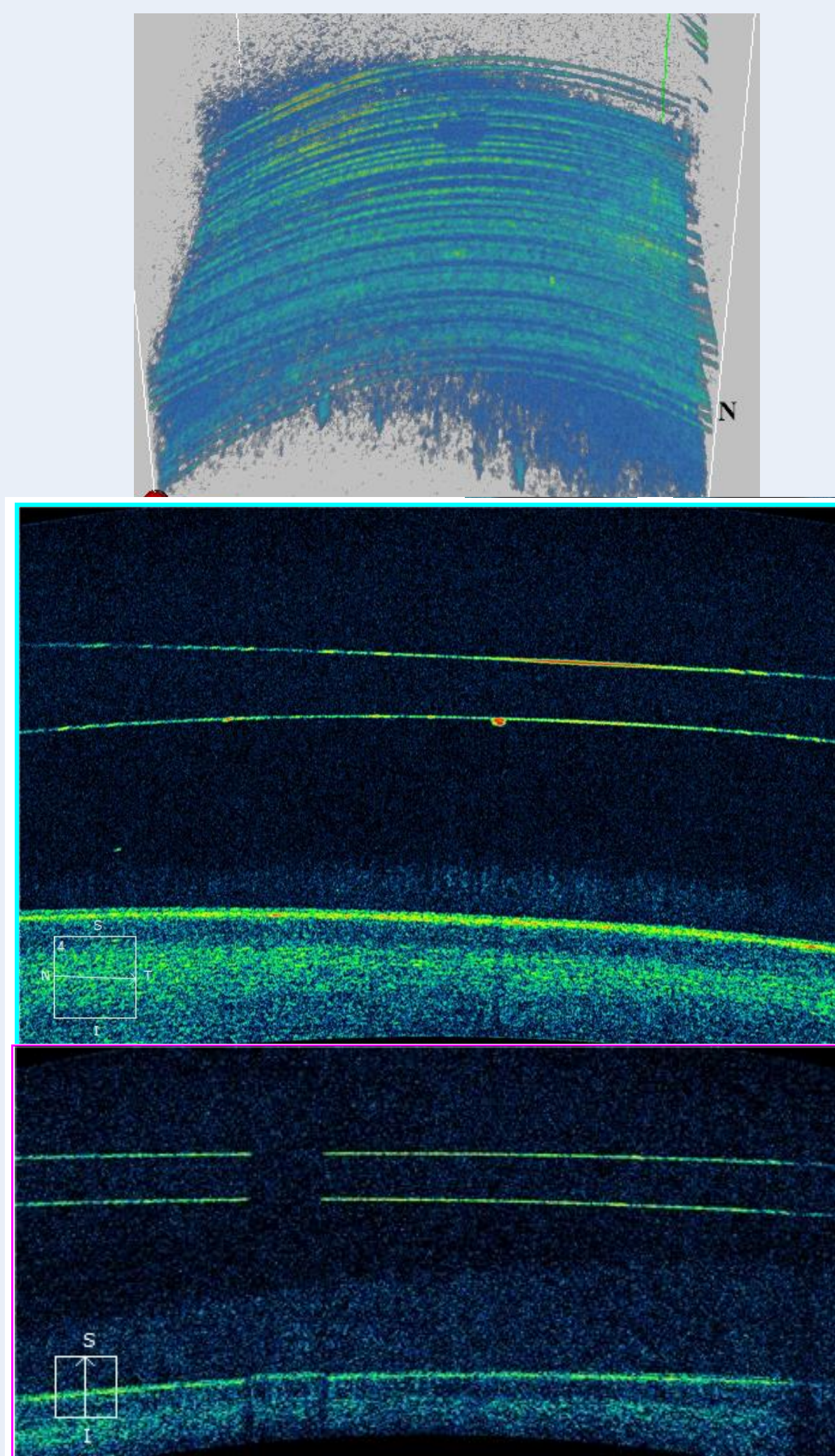


Figura 15: lente ICL® V4c.

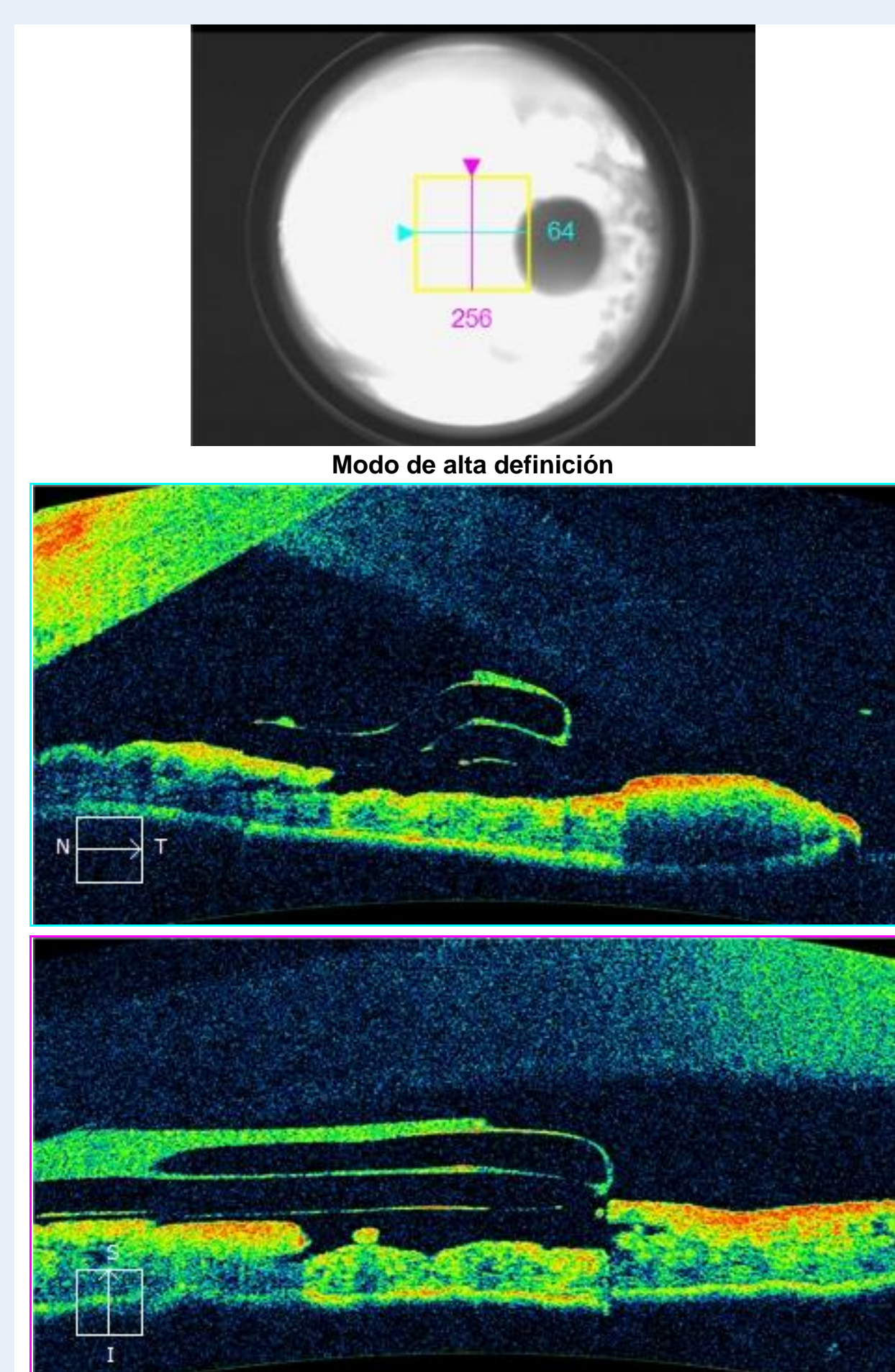


Figura 16: lente Artisan®.

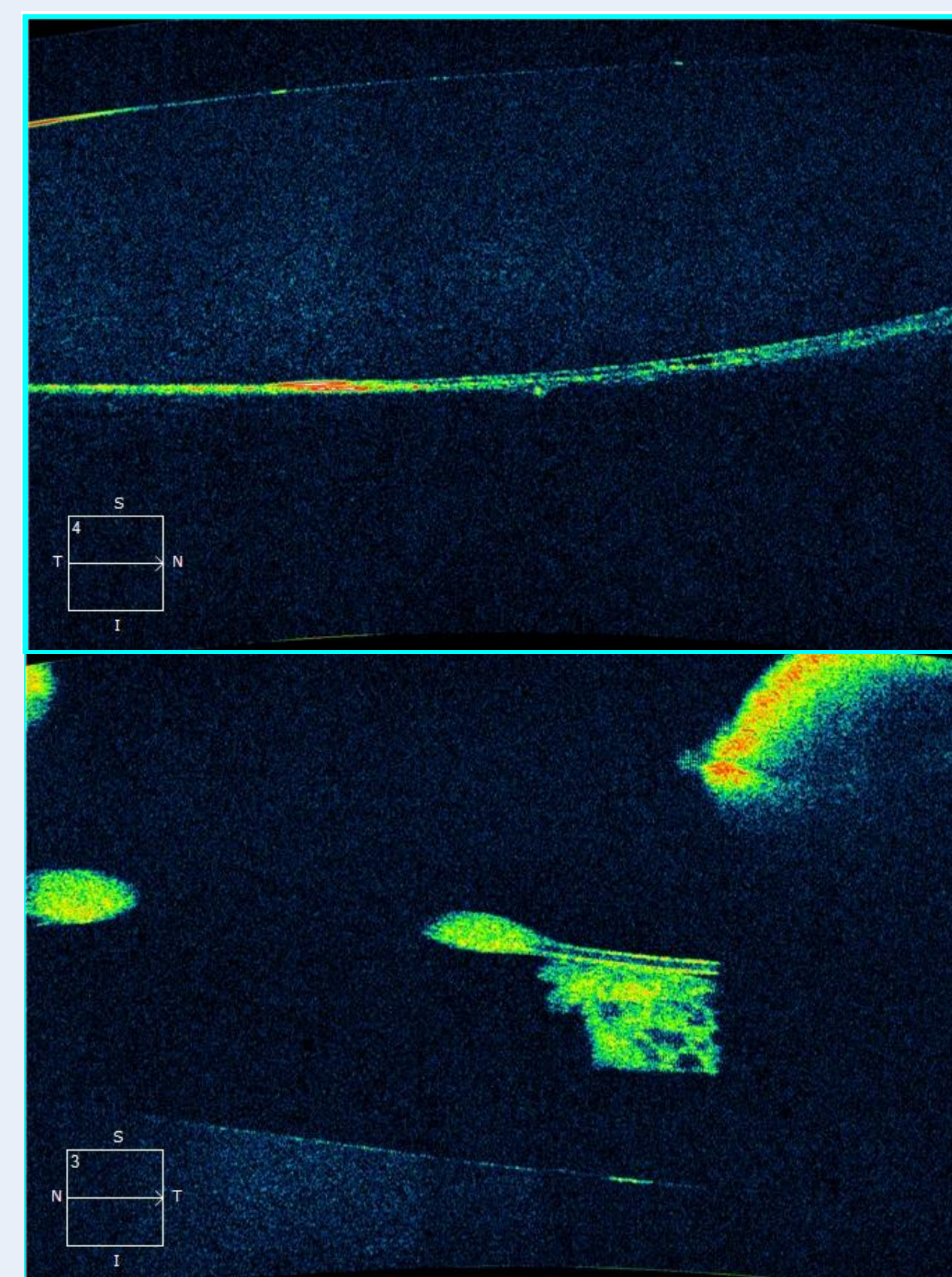


Figura 17: complicaciones post faco: opacificación de cápsula posterior y capsulofimosis con persistencia de masas bajo capsulorexis.

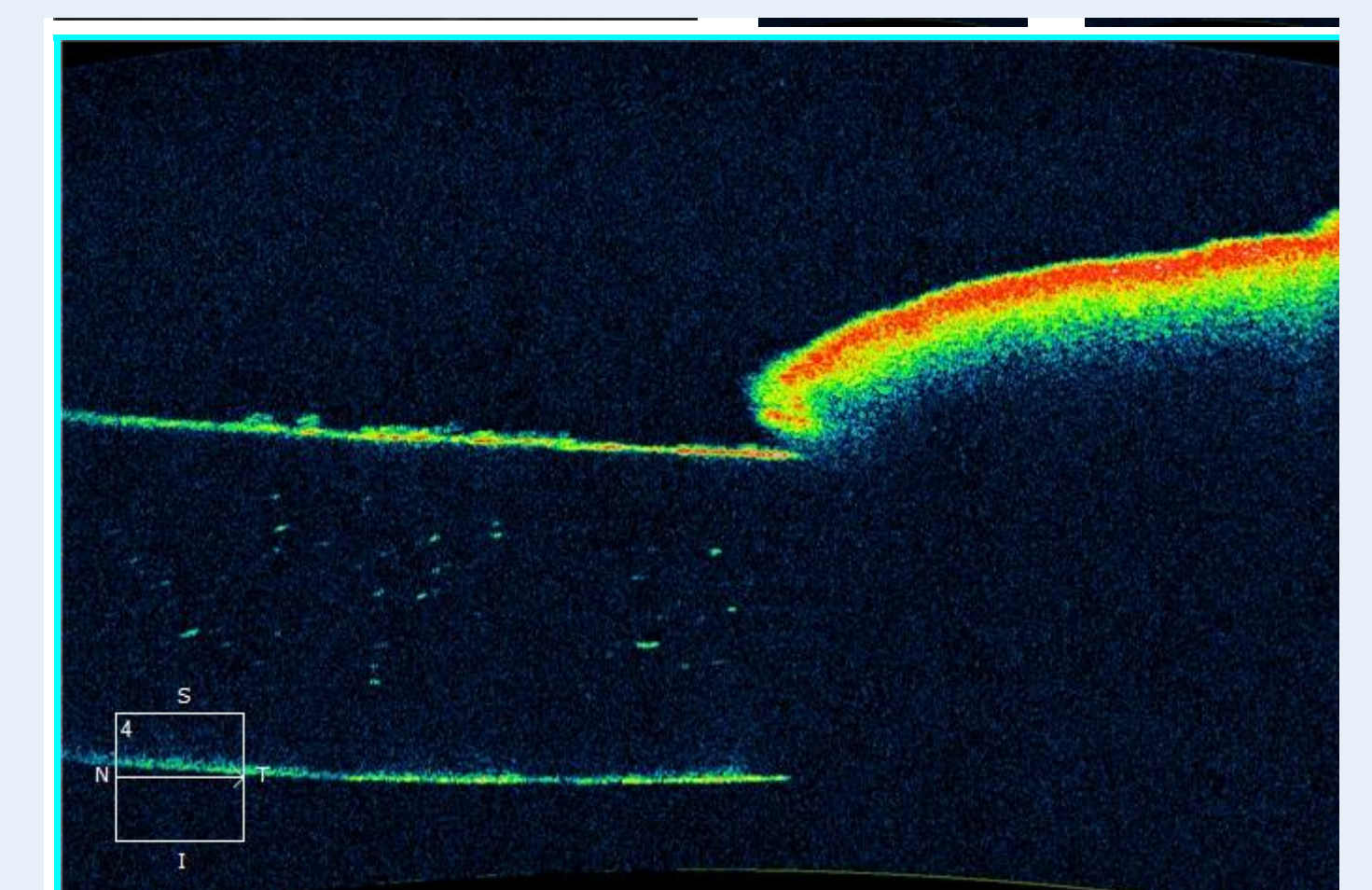


Figura 18: material de pseudoexfoliación en lente intraocular.

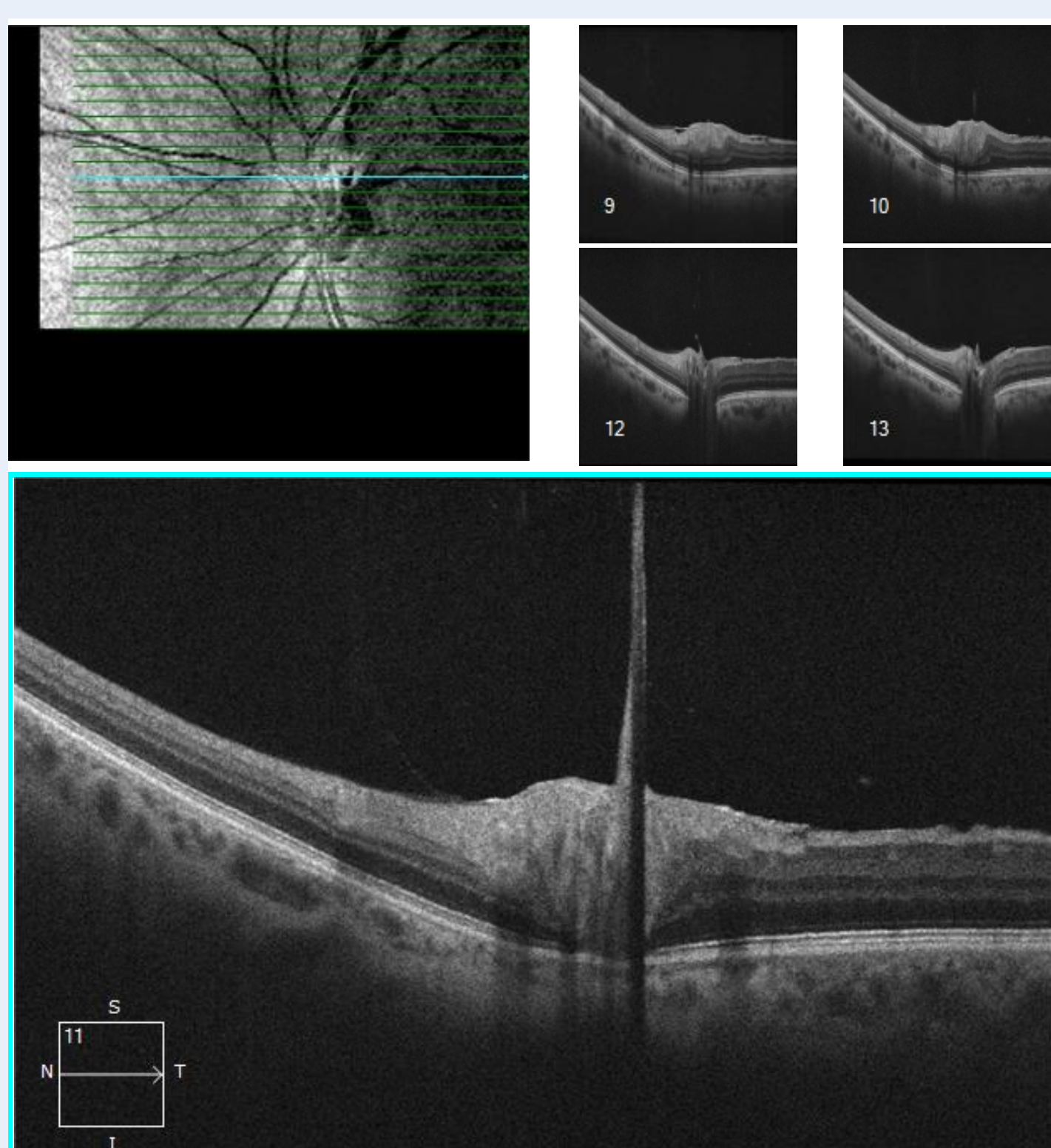


Figura 19: canal de Cloquet.

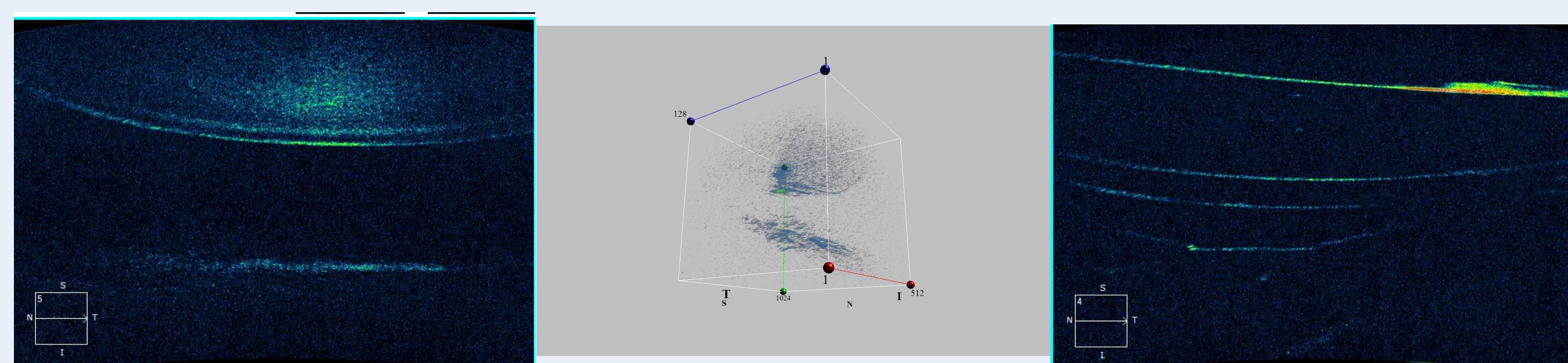


Figura 20: espacio Erggelet.

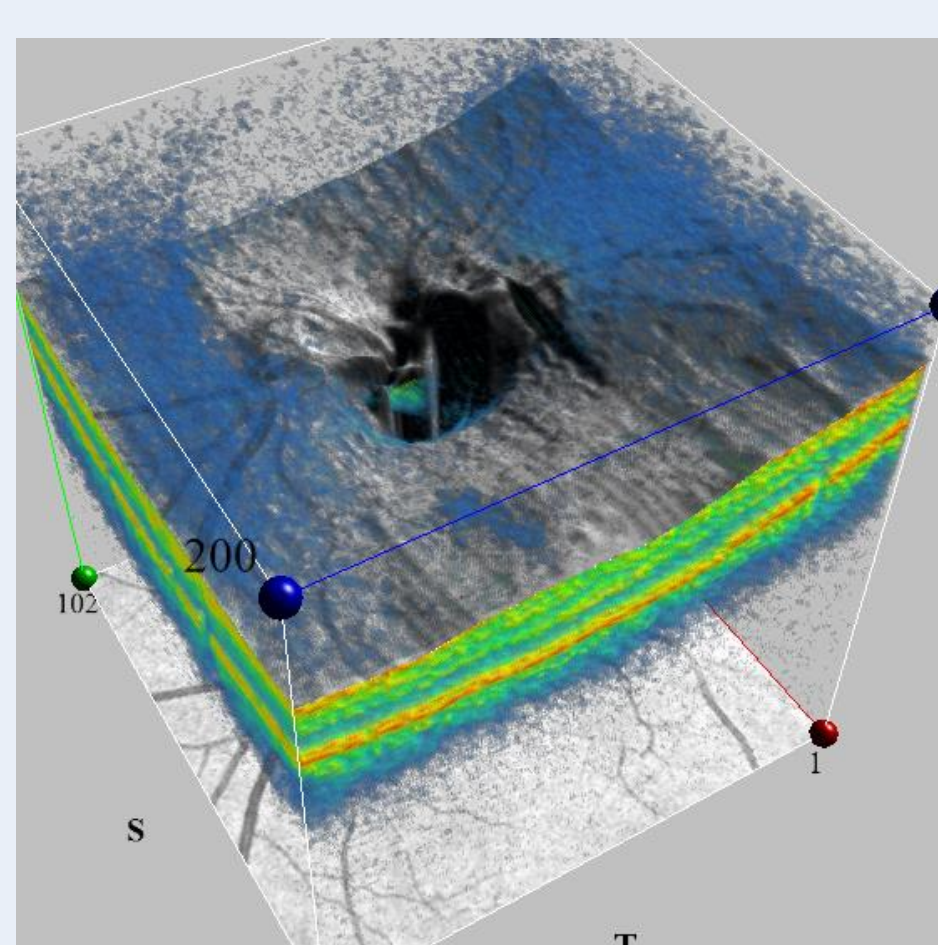


Figura 21: evaluación tridimensional de la papila óptica.

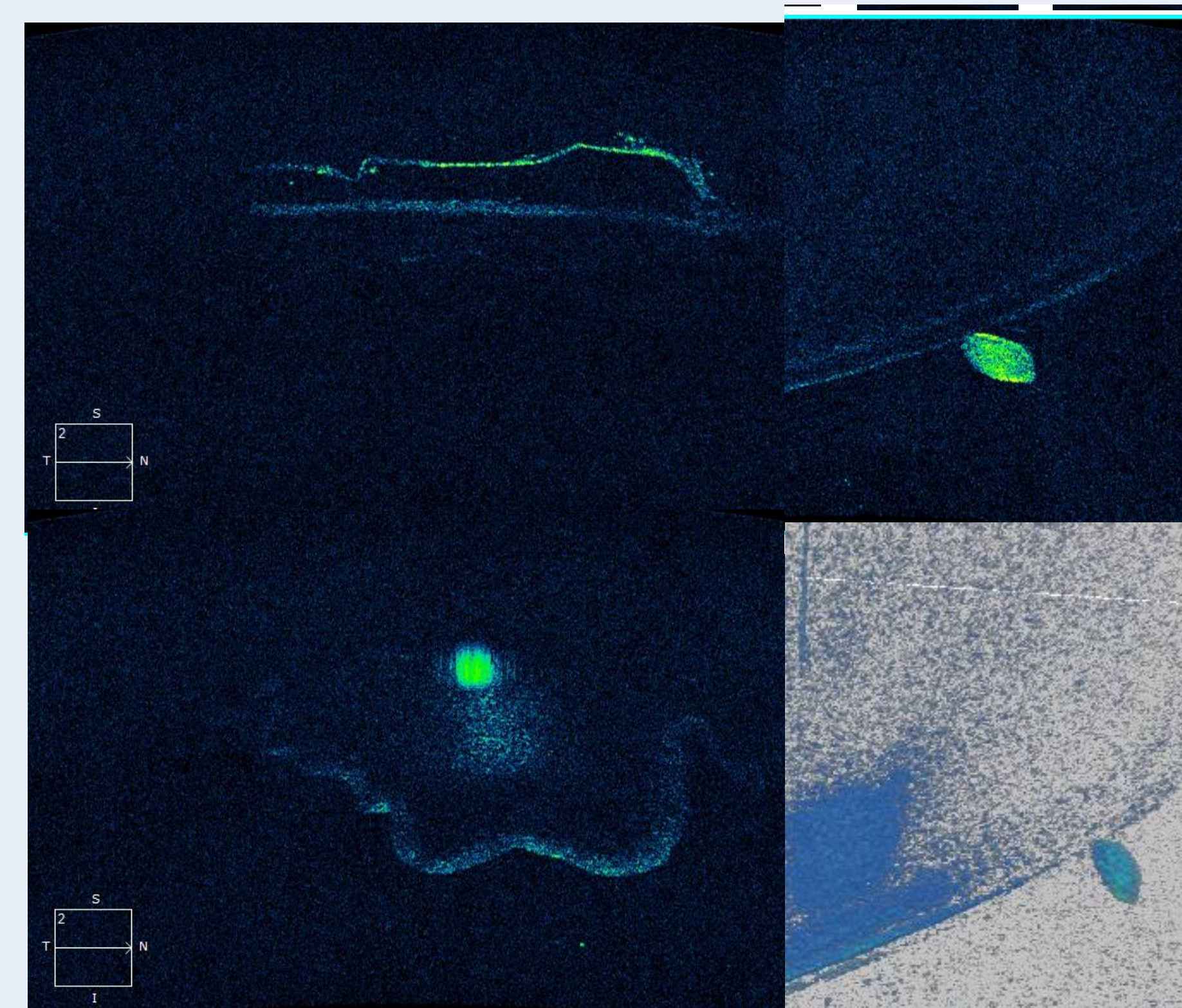


Figura 22: desprendimiento de vítreo posterior, flóculos vítreos y retrolenticulares.

## CONCLUSIONES

El nuevo tomógrafo Cirrus 500 permite diagnosticar numerosas patologías oculares, y obtener imágenes de polo anterior y posterior de gran calidad.

## BIBLIOGRAFÍA

- 1- Fujimoto J, Swanson E. The Development, Commercialization, and Impact of Optical Coherence Tomography. Invest Ophthalmol Vis Sci. 2016 1;57:1-13.
- 2- Díez-Feijóo E, Durán JA. Optical coherence tomography findings in recurrent corneal erosion syndrome. Cornea. 2015;34:290-5.
- 3- Li QS, Zhao L, Zhang XR, Zhang ZY, Bao FF. The palpebral conjunctival epithelium thickness in young adults measured by optical coherence tomography. Cont Lens Anterior Eye. 2015;38:250-2.
- 4- Hwang YH, Kim YY. Glaucoma diagnostic ability of quadrant and clock-hour neuroretinal rim assessment using cirrusHD optical coherence tomography. Invest Ophthalmol Vis Sci. 2012 24;53:2226-34.
- 5- Pang CE, Schaal KB, Engelbert M. Association of prevascular vitreous fissures and cisterns with vitreous degeneration as assessed by swept source optical coherence Retina 2015;35:1875-82.

